

] 10 5r •

KAWASAKI STEEL GIHO

Vol.5 (1973) No.4

N q!c b))È Ü\$×%È'2

A Study on the Petrographic Investigation of Coking Coals

" Ú U#è (Mitsuo Saga)] ³ μ (Tsugio Miyagawa)

0[" :

G b%È'2 c>*54 ' b N q!c † P1ß _>*#Ø!c ...6ë b ö"g j † • q M •% \$x [>* ' ¶ b ¥ † i
« i ö æ † \)È Ü\$× m 2 [" } € S æ † \ †6ö4 Y E ^ @ }1* m S v b [6 • Q b)
Ý>* ' ¶ b0è9, %o 2 [c1 Â [A ^ ? W S ö"g j _ X 8 Z • q M • G \ @ [A S S \ <
d>*1æ ^!c c - ¼ † ° b µ w5 @ " C>* Schapiro b m 2 _ | • ¥ † i « I Ø b N í \

論・報文

原料炭の組織学的研究

A Study on the Petrographic Investigation of Coking Coals

嵯峨三男*

Mitsuo Saga

宮川亞夫**

Tsugio Miyagawa

Synopsis:

Japanese and the other bituminous coals, the petrographic method has been carried out using 54 coking coals connected with customary coking indices.

The results obtained by usual method have been made clear.

国炭17種、カナダ炭6種、ソ連炭4種、南アフリカ炭およびインド炭各2種、国内炭5種である。

2.2 試料の調製

2.2.1 サンプリング

顕微鏡

光源：XBO、クセノンランプ（150W）

倍率：×250（対物レンズ×25、対眼レンズ×10、対眼レンズ中に20ポイントのテンプレートを挿入、油浸）

測定回数：メカニカルステージをX、Y軸にそ

光源: 6V, 30W, タングステンランプ(電源安定装置付属)

測定視野: $20\mu\phi$ (ASTM では $5\mu\phi$ を使用)

Table 2 Proximate, elementary analysis and the determined coke strength

Sample coal	VM %	Ash	C	H	C/H	DI ₁₅ ³⁰		Ti ₂₅ ¹⁴⁰⁰		C. B. I.	S. I.
	(d.a.f)		% (d. a. f)			Dat.	Cal.	Dat.	Cal.		
100-100-00	55.1	10.1	15.57	1.28	0.537	60.4	60.4	50.0	51.0	0.417	4.201

反射率スタ

ンダード：約9%（乾式）の高屈折率特殊ガラ
スを使用した。

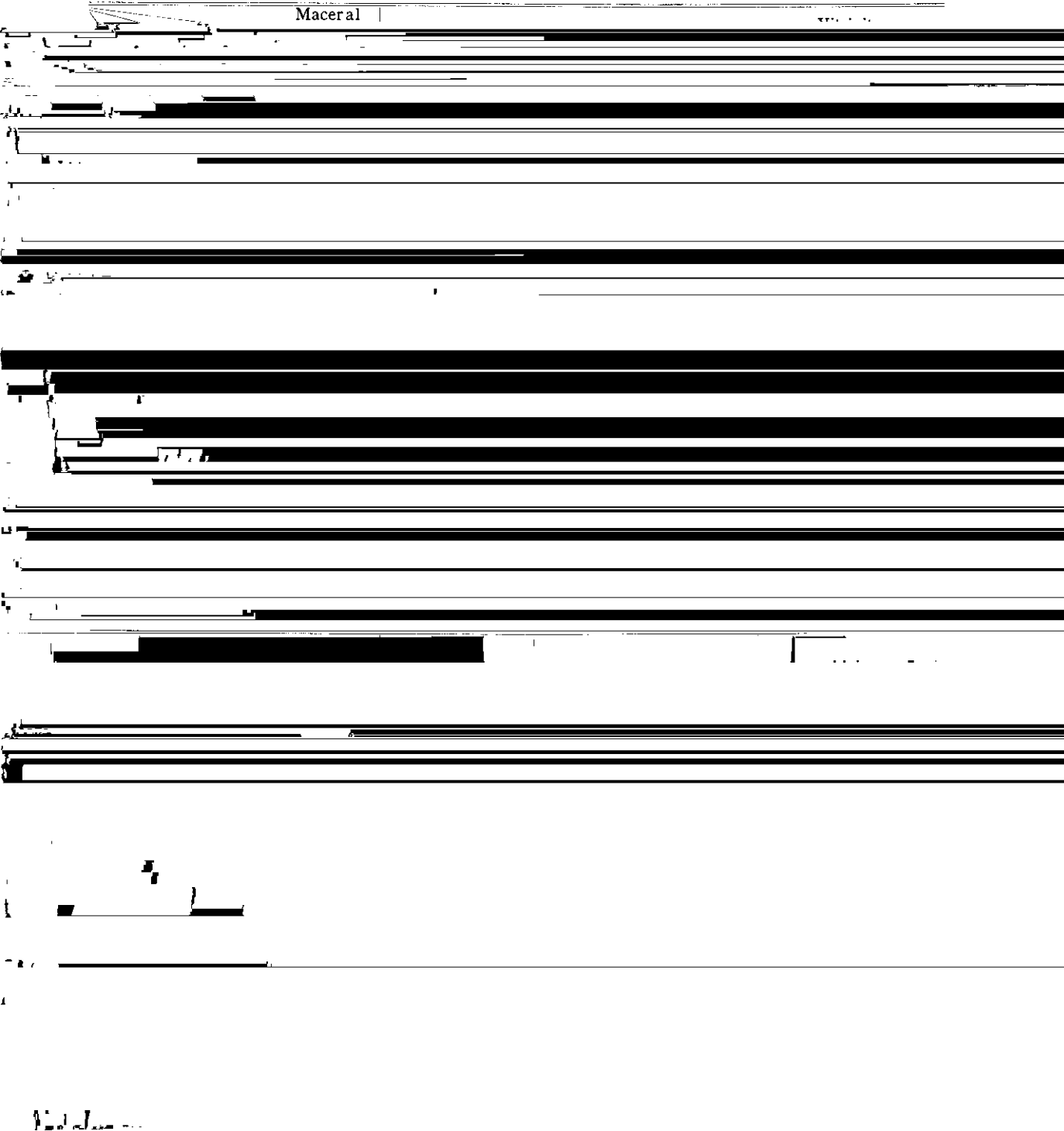
反射率の

算出 : $R_o(\%) = R_s \times V_A / V_S$

R_o : ビトリニットの最大反射率 (%)、油

Table 3 Maceral analysis

Maceral |



浸)

R_s : スタンダードの反射率(%, 油浸)

読み(mV)

読み(mV)

of sample coals

To.	Micri-	...	Total	...
-----	-----	-----	-----	--------	-----	-------	-----

3. 結果と考察

イナーチニット含有量が10~25%の石炭でドラム強度の高いものが多いことがわかる。以下に、こ

Table 2, Table 3 に試料炭のマセラル組成、
反応性、活性度を示す。

て、写真を参考にしながら述べるが、マセラルの
外観の変化程度によっては、活性度が異なる。

3.1 マセラル組成とコークス化性

Fig. 1 に試料炭のマセラル組成を三角図表で示した。

Fig. 1(a) は出炭国別に、**Fig. 1(b)** は実測ドラム強度90以上とそれ以下に類別してプロットしたも

詳細に解説しているので、ここでは省略する。
Table 4 に代表的なマセラル成分とそのコークス化性についてまとめた。

ビトリニット・グループは軟化溶融性を示し
(原料炭として使用されている瀝青炭の領域に属

すみの)、コークス化過程の性状は、この成分 リニット・グループの一例を、Photo. 2 に代表

ことで、石炭化度の推定およびコークス強度への

あるビトリニット中に介在している場合が多く、
一例として、アーチカル・ヒート・アンド・スチーブ

抗の難易によって異なる。Fig. 2 にビトリニッ
ケートの組成を示す。

=1.6(%)までエクジニットは認められるなど、
地獄半島の岩手県では、セメントの出荷量が増加する。

半不活性成分のセミフジネット、偽似ビトリニットはビトリニット・グループと後述のイナーチーム・グループの上間に位置する。古羅森石炭も

10

山形炭のイナーチニット含有量と反射率

歳では石炭化の初期段階すでにイナーチニット

イナーチニット・グループは化学的に不活性で軟化溶融性を示さない。Fig. 4にビトリニットの反射率とイナーチニット含有量の関係をPhoto. 3にその代表的なマセラルを示した。出炭国別にみると、米国炭では石炭化度が高くなてもその含

になることが根源植物によって、ある程度規定されているものが多いと推察される。さらに、豪州炭では、イナーチニットの中でも、とくにミクリニット成分が多い。このミクリニットの由来については、定説はないが、前述の生因説⁹⁾をとれば豪州炭と米国炭の違いは、根源植物以外に石炭化の過

に対して、豪州炭、カナダ炭ではイナーチニットが広く分布しているのが読みとれるだけで相互関係は認められない。また、顕微鏡下で鉱物質をみ

れらはビトリニット→フジニットの石炭化過程で触媒的な作用を果しているのではないかとも考えられる。

図 4 の左側の写真は細かい分散粒子

図 4 の右側の写真を示すものである

は抱合された状態で存在しているものも多く、こ

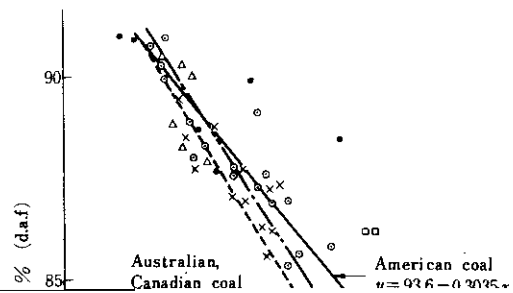
実線は Krevelen⁹⁾ らの示したものであり、プロ

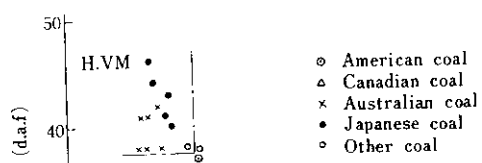


$$x_i = \frac{a_i}{100} x_E + \frac{b_i}{100} x_V + \frac{c_i}{100} x_I \dots \dots \dots (1)$$

$i=1 \sim 3$

石炭化度（反射率で代表した）の近い3種の石炭を選び(1)式から一次方程式を解くことによつて各成分のH(%)などが求められる。Fig. 6 から、H, VM含有量はエクジニット > ピトリニッ

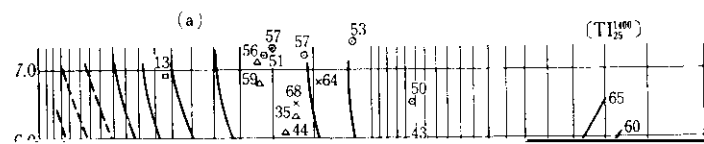




は述べたが、石炭の基質をなすビトリニットのみをとりあげれば、その揮発分は工業分析で得られる値よりも相対的に高いはずである。とくに、イナーチニット含有量の多い豪州炭などでは、その

R/I 値が高い位置にあるものの（活性質が比較的

反射率とマセラル分析をもとに、Consolidation



a_i : 各ビトリニット・タイプの Rank
Index

この指数は経験的に得られている O. I. R 値を
用いて、各ビトリニット・タイプの含有量に相当

率 (%)

の割合を示したものである。したがって、試料炭

とくに推定精度がわるく、中でも豪弱炭では計算しての働きに大きな影響をもつものであり、これ

クス強度を調べるときは、各マセラル成分の性状を十分に把握し、総合的に判断しなければならぬ

亘って徐々に酸化される状態をさしていると考えられるが、この現象によって石炭が酸化される

下ではビトリニット成分について、亀裂の発生と
いう特徴的な現象によって検知できる。Photo. 5
には Newdell 炭、Liddell 炭を空気中で350°C,
1 時間加熱したときの顕微鏡写真を示しているが、

化度炭を混合して VM 値を調節したり、あるいは、混合炭として購入されていても、混合比の変動、風化炭やボタ等の混入によって、品質のトラブルが生ずるのである。このような性状の変動

酸化による亀裂の発生、酸化皮膜の生成などその
性質がトロカス キナ 角型の発生状況以外

は、従来の工業分析値等では判断できないが、組織分析や反射率の測定によって比較的容易に検知

合割合の変動など、入荷炭の品質上のトラブル

効に利用できるものと考えられる。

日経工業新聞社編「資源と技術」(昭和50年1月号)

日本製鉄技術セミナー パーティ

会場三明工場八中溶接工場 溶接第一部木村